

НИЗКОВОЛЬТНЫЙ РАЗРЯД В ЦЕЗИЙ-ВОДОРОДНОМ ПОЛОМ КАТОДЕ

Ф.Г.Бакшт, В.Г.Иванов

1. Интерес к низковольтному разряду (НР) в смеси Cs-H₂ связан с перспективами его использования в качестве источника колебательно-возбужденных молекул H₂ и ионов H⁻ [1]. Это объясняется тем, что разряд может быть сравнительно легко реализован при оптимальной для генерации ионов H⁻ электронной температуре $T_e \approx 1$ Эв. При этом, с одной стороны, уже достигается максимальная скорость генерации ионов H⁻ за счет диссоциативного прилипания тепловых электронов к колебательно-возбужденным молекулам H₂ [2], а с другой стороны, еще весьма мала скорость обдирки ионов H⁻ электронным ударом [3]. Существенно, что разряд может быть реализован именно в низковольтном режиме, т. е. при достаточно малом катодном падении $\varphi_1 < U_d$, где $U_d \approx 8.8$ В — порог прямой диссоциации молекул H₂ электронным ударом. Это обеспечивает весьма малую степень диссоциации H₂ и способствует интенсивной колебательной накачке молекул H₂ в НР [4].* В настоящее время экспериментально показано наличие в НР в смеси Cs-H₂ высокого уровня колебательной накачки молекул водорода [6] и оптимальной для генерации H⁻ электронной температуры $T_e \approx 1$ эВ [7].

2. До сих пор НР в Cs-H₂ изучался лишь в плоской геометрии. Как расчеты, так и эксперименты были выполнены применительно к плоскому диоду с покоящейся цезий-водородной плазмой, в то время как реальные источники H⁻ представляют собой прокачные системы. Наиболее простой такой системой, удобной для теоретического анализа, является диафрагмированный полый катод (ПК), заполненный цезий-водородной плазмой (см. рис. 1, a). Целью настоящего сообщения является приближенный теоретический анализ состояния плазмы в цезий-водородном ПК и определение концентрации N_H ионов H⁻ в зависимости от величины приложенного напряжения U и тока j₁ эмиссии катода.

* Вследствие весьма больших констант $v - t$ релаксации молекул на атомах H образование атомарного водорода в разряде приводит к резкому уменьшению колебательной накачки молекул водорода [5].

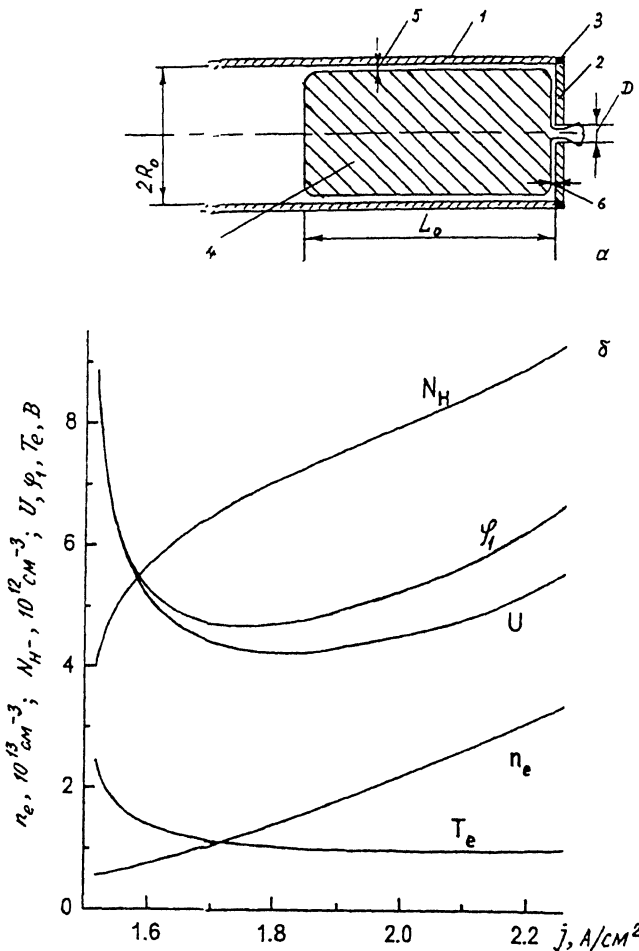


Рис. 1. Полый катод: 1 — катод, 2 — анод, 3 — изолятор, 4 — плазма, 5 и 6 — ленгмюровские слои, отделяющие плазму от катода и анода (а); зависимости параметров плазмы и напряжения между катодом и анодом от плотности тока на катоде. $R_0 = 0.15 \text{ см}$, $L_0 = 1 \text{ см}$, $j_1 = 2 \text{ А}/\text{см}^2$, $N_{H_2} = 10^{16} \text{ см}^{-3}$, $N_{Cs}^{(0)} = 10^{14} \text{ см}^{-3}$ (б).

3. Наиболее существенное различие между условиями генерации H^- в покоящейся и движущейся плазме связано с конечностью времени τ_v формирования колебательной функции распределения (КФР) молекул H_2 . В связи с этим были выполнены расчеты колебательной релаксации молекул H_2 в цезий-водородной плазме. Решалась система нестационарных уравнений баланса для заселенностей колебательных уровней. Предполагалось, что при $t = 0$ КФР соответствует распределению Больцмана с газовой темпе-

ратурой T . Считалось, что молекула с такой КФР помещается в цезий-водородную плазму, в результате чего ее КФР релаксирует к новому стационарному значению. В уравнениях колебательной кинетики учитывались следующие процессы: $e - v$ обмен, $v - v$ обмен, $v - t$ обмен с молекулами и атомами водорода, переходы между колебательными уровнями в результате взаимодействия с атомами Cs в основном и возбужденных состояниях, обтирка ионов H^- колебательно-возбужденными молекулами, колебательная релаксация молекул H_2 на стенках, ассоциативный отрыв и диссоциативное прилипание электронов. Константы скоростей процессов приведены в [4,8]. Расчеты показали, что при параметрах плазмы, оптимальных для генерации ионов H^- , КФР формируется за время $\tau_v \lesssim 5$ мкс.

При достаточно малом диаметре D диафрагмы ($D/2R_0 \leq 0.1$) скорость течения молекулярного водорода в разрядной зоне $V_0 \lesssim 0.1\nu_s$, где ν_s — скорость звука. При $T = 0.1$ эВ длина L_v , на которой формируется КФР, $L_v = V_0\tau_v \approx 0.1$ см, так что при длине разрядной зоны в ПК $L_0 \approx 1$ см КФР молекул H_2 успевает сформироваться.

4. Для приближенного определения параметров плазмы в ПК рассматривалась следующая теоретическая модель. Предполагалось, что длинная ($L_0 \gg R_0$) цилиндрическая полость заполнена однородной плазмой, образующейся за счет ионизации Cs. Расчет проводился в два этапа (ср. с [9]). На первом этапе параметры плазмы (ее состав, КФР молекул H_2 , заселенности основного и возбужденных уровней Cs и т. п.) определялись как функции электронной температуры T_e . Считалось, что генерируемые в плазме ионы Cs^+ , молекулы H_2 , атомы H, излучение и т. п. отводятся только в радиальном направлении, т. е. на боковую (эмитирующую) поверхность ПК. На втором этапе, при заданном токе эмиссии j_1 с поверхности катода и заданной температуре T_e определялись: напряжение U между катодом и анодом, ток I разряда и приэлектродные потенциальные барьеры φ_1 и φ_2 в ленгмюровских слоях. Эти величины находились из решения системы уравнений, описывающих баланс заряженных частиц (электронов и ионов Cs^+) и энергии электронов в разряде:

$$(j_1 - j_e + j_i)2\pi R_0 L_0 = (j_2 - j_i)\pi R_0^2, \quad (1)$$

$$2\pi R_0 L_0 [j_1(2T/q + \varphi_1) - j_e(2T_e/q + \varphi_1) - j_i E_{ion}] = \\ = \pi R_0^2 [j_e(2T_e/q + \varphi_2) + j_i E_{ion}] + W_0 \pi R_0^2 L, \quad (2)$$

$$U = \varphi_1 - \varphi_2, \quad (3)$$

$$I = 2\pi R_0 L_0 \cdot j. \quad (4)$$

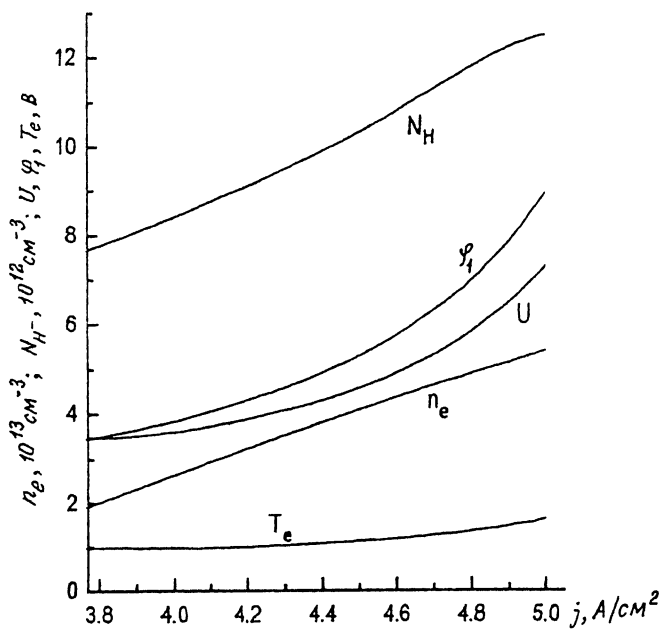


Рис. 2. Зависимости параметров плазмы и напряжения между катодом и анодом от плотности тока на катоде. $j_1 = 5 \text{ A/cm}^2$, остальные параметры те же, что на рис. 1, б.

Здесь приняты следующие обозначения: $j_e = \frac{1}{4}q n_e v_e \exp(-q\varphi_1/T_e)$, $j_2 = \frac{1}{4}q n_e v_e \exp(-q\varphi_2/T_e)$ — плотности электронных токов из плазмы на катод и анод соответственно, $j_i = 0.61q\sqrt{T_e/M_i n_i}$ — плотность ионного потока из плазмы на электрод, φ_2 — прианодный потенциальный барьер, задерживающий поток электронов из плазмы на анод, E_{ion} — энергия ионизации Cs, $j = j_1 - j_e + j_i$ — плотность полного тока на поверхности катода, n_e и n_i — концентрации электронов и ионов Cs^+ в плазме ($n_e + N_{H^-} = n_i$), $W_0 = W_{e\nu} + W_{er} + W_{et} + W_{rad}$ — плотность объемных потерь энергии электронов соответственно вследствие передачи энергии при столкновениях на колебательные, вращательные и поступательные степени свободы H_2 , а также потери энергии на излучение с возбужденных уровней Cs. Площадь диафрагмы считалась пренебрежимо малой по сравнению с площадью анода, а также пренебрегалось потерями заряженных частиц и энергии на задней торцевой границе разрядной зоны. Существенно, что НР организуется при тормозящем прианодном падении напряжения φ_2 , так что генерируемые в плазме ионы H^- не теряются на электродах. Концентрация N_{H^-} в плазме находится из условия их ионизационно-рекомбинационного равновесия [8].

5. Типичные результаты расчетов представлены на рис. 1, 6 и 2. Здесь приведены зависимости n_e , N_{H^-} , φ_1 , T_e и U от плотности тока j на поверхности катода. Через $N_{Cs}^{(0)}$ обозначена полная концентрация цезия в зазоре ($N_{Cs}^{(0)} = N_{Cs} + n_i$). Видно, что в разряде действительно достигаются оптимальная электронная температура $T_e \approx 1$ эВ и большие концентрации $N_{H^-} \approx 10^{13}$ см⁻³ при сравнительно небольшом катодном падении φ_1 и небольших плотностях эмиссионного тока с поверхности катода j_1 (порядка нескольких А/см²). Прианодный потенциальный барьер $\varphi_2 = \varphi_1 - U > 0$, т. е. везде является тормозящим для плазменных электронов (малые значения $\varphi_2 \approx 0$ имеют место лишь на неустойчивом, падающем участке вольтамперической характеристики и не реализуются в устойчивых режимах горения разряда в ПК). Использованные в расчетах плотности тока эмиссии порядка нескольких А/см² вполне достижимы при давлении цезия $P_{Cs} \approx 10^{-2}$ Тор [10,11]. Принятое значение глубины затекания плазмы в полость $L_0 = 1$ см также согласуется с имеющимися экспериментальными и расчетными данными по ПК [10,12]. Поэтому практическая реализация рассмотренного выше режима цезий-водородного ПК не должна встретить принципиальных затруднений.

Работа выполнена при поддержке Российского фонда фундаментальных исследований (грант 94-02-06370), Международного научного фонда (грант N TZ000) и INTAS (грант 94-316).

Список литературы

- [1] Бакшт Ф.Г., Иванов В.Г. // Письма в ЖТФ. 1986. Т. 12. В. 11. С. 672-675.
- [2] Wadehra J.M. // Phys. Rev. A. 1984. V. 29. N 1. P. 106-110.
- [3] Janev R.K., Evans K., Langer W.D., Post D.E. Elementary processes in Hydrogen-Helium Plasmas. Springer-Verlag, Berlin-Heidelberg, 1987. 326 p.
- [4] Baksht F.G., Djushev G.A., Elizarov L.I., Ivanov V.G., Kostin A.A., Shkolnik S.M. // Plasma Sources Sci. Technol. 1994. V. 3. N 1. P. 88-98.
- [5] Бакшт Ф.Г., Иванов В.Г. // ЖТФ. 1986. Т. 56. В. 8. С. 1562-1568.
- [6] Бакшт Ф.Г., Иванов В.Г., Никитин А.Г., Школьник С.М. // Письма в ЖТФ. 1994. Т. 20. В. 22. С. 83-87.
- [7] Бакшт Ф.Г., Иванов В.Г., Костин А.А., Никитин А.Г., Щкольник С.М. // ЖТФ. 1995. Т. 65. В. 8.
- [8] Бакшт Ф.Г., Елизаров Л.И., Иванов В.Г., Юрьев В.Г. // Физика плазмы. 1988. Т. 14. В. 1. С. 91-97.
- [9] Бакшт Ф.Г., Иванов В.Г., Костин А.А. // ЖТФ. 1993. Т. 63. В. 9. С. 173-177.

- [10] Дюжев Г.А., Митрофанов Н.К., Старев Е.А., Школьник С.М., Юрьев В.Г. Физические исследования дугового полого катода. Препринт ФТИ им. А.Ф. Иоффе № 583. Л., 1978.
- [11] Дюжев Г.А., Старцев Е.А., Школьник С.М. // ЖТФ. 1978. Т. 48. В. 12. С. 2495–2499.
- [12] Бакшт Ф.Г., Рыбаков А.Б., Юрьев В.Г. Теория сильноточного дугового полого катода. Препринт ФТИ им. А.Ф. Иоффе № 789. Л., 1982. 60 с.

Физико-технический
институт им. А.Ф. Иоффе РАН
Санкт-Петербург

Поступило в Редакцию
10 июля 1995 г.
